

Introdução ao Controle Robusto de Sistemas por Modos Deslizantes

Prof. DSc. Josenalde Barbosa de Oliveira
Universidade Federal do Rio Grande do Norte (UFRN)

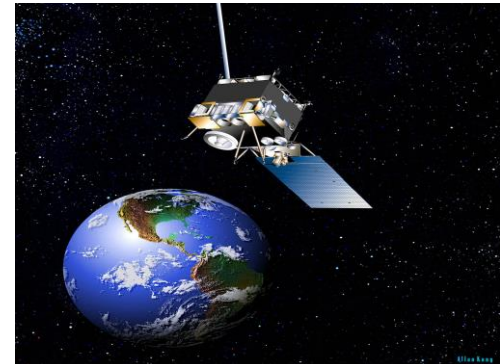
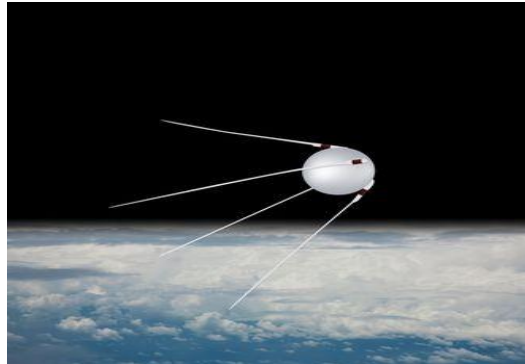
Vila Real, 29.11.2013

Sumário

- Breve histórico e motivação
- Aspectos matemáticos e exemplos
- Aspectos práticos
- Considerações finais e perspectivas de pesquisa

Breve histórico e motivação

- Guerra fria (1945-1991)
- Corrida espacial (avanços científicos)
- Veículos autônomos **ROBUSTOS**
 - **Dinamicas não modeladas;**
 - **Incertezas paramétricas;**
 - **Distúrbios na entrada, saída;**
 - **Ruídos e atrasos de medição.**
- Teoria de controlo: relés (liga-desliga / liga-inverte / propulsor)
– controle de posição e velocidade (REGULAÇÃO)



Breve histórico e motivação

- Pesquisadores **RUSSOS** iniciaram o processo:
 - Filippov, A. F. (1964). *Differential equations with discontinuous right-hand side*. American Math. Soc. Translations 42(2), 199-231.
 - Drazenovic, B. (1969). *The invariance conditions in variable structure sytems*. Automatica, 5(3), 287-295.
 - Emelyanov, S. V. (1970). *Theory of Variable Structure Systems*, Nauka.
 - Itkis, U. (1976). *Control Systems of Variable Structure*, Wiley.
 - Utkin, V. I. (1977). *Variable Structure Systems with Sliding Modes*, IEEE Trans. Aut. Contr., 22, 212-222.

Vadim Utkin
Ohio State University
VSS – IEEE
VSS 2014 – Nantes Fr.

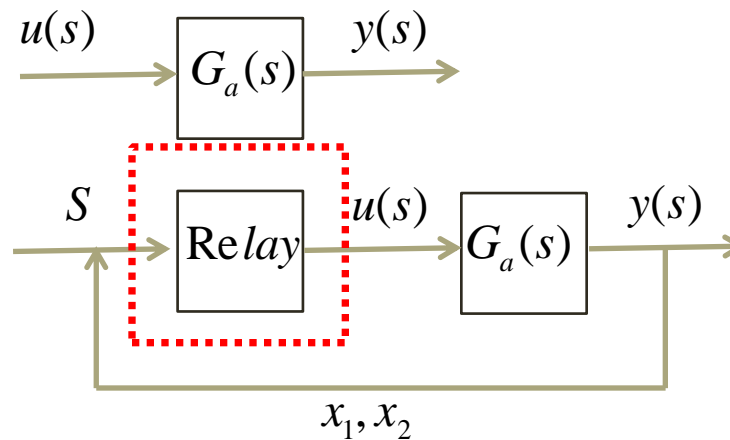


Breve histórico e motivação

“A descrição matemática de modos deslizantes é um desafio e tanto” V. I. Utkin

Exemplo 1: *duplo integrador* – um dos sistemas fundamentais em aplicações de controlo, representando movimentos translacionais e rotacionais (corpos rígidos – rotação de artefatos espaciais, guias giratórias (rotary crane motion) etc.

$$G_a(s) = \frac{y(s)}{u(s)} = \frac{1}{s^2}$$



Descrevendo o sistema em malha fechada por **variáveis de estado**...

Breve histórico e motivação

$$\dot{x} = Ax + Bu$$

$$y = Cx$$

$$A = \begin{bmatrix} 0 & 1 \\ 0 & 0 \end{bmatrix} \quad B = \begin{bmatrix} 0 \\ 1 \end{bmatrix}$$

$$C = \begin{bmatrix} 1 & 0 \\ 0 & 1 \end{bmatrix}$$

$$\dot{x}_1 = x_2$$

$$\dot{x}_2 = u$$

$$u = -\text{sign}(S)$$

$$S = cx_1 + x_2$$

$$\text{sign}(S) = 1, \quad S > 0$$

$$\text{sign}(S) = -1, \quad S < 0$$

Se considerarmos a **reta de chaveamento** S , tem-se duas regiões no plano:

Região I: $u < 0, S > 0$

$$\begin{cases} \dot{x}_1 = x_2 \\ \dot{x}_2 = -1 \end{cases}$$

Estrutura I

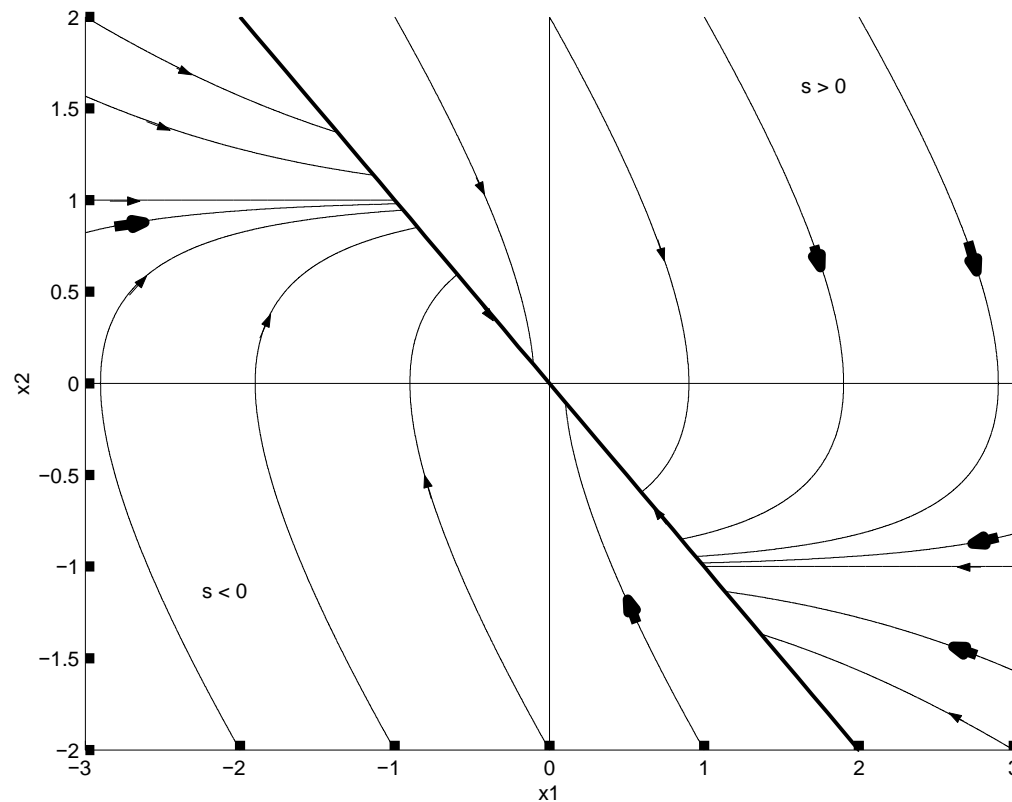
Região II: $u > 0, S < 0$

$$\begin{cases} \dot{x}_1 = x_2 \\ \dot{x}_2 = 1 \end{cases}$$

Estrutura II

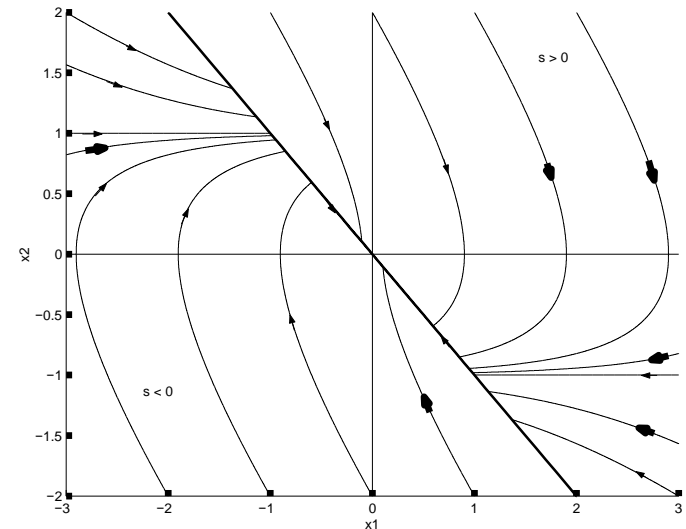
Breve histórico e motivação

- Logo, o sistema em malha fechada é conhecido como SISTEMA COM ESTRUTURA VARIÁVEL (*VARIABLE STRUCTURE SYSTEM*)



Breve histórico e motivação

- Tem-se assim duas fases ou estágios:
 - Estágio de *alcançabilidade/aproximação* (Reaching stage): a trajetória iniciada em qualquer lugar do plano de fase é conduzida em tempo finito para a superfície de deslizamento;
 - Estágio de deslizamento (modo deslizante): o sistema entra em modo deslizante (superfície deslizante) em direção ao ponto de equilíbrio, reduzindo a ordem da dinâmica do sistema, que passa a ser dada pela equação da superfície de deslizamento $S(x)=0$.



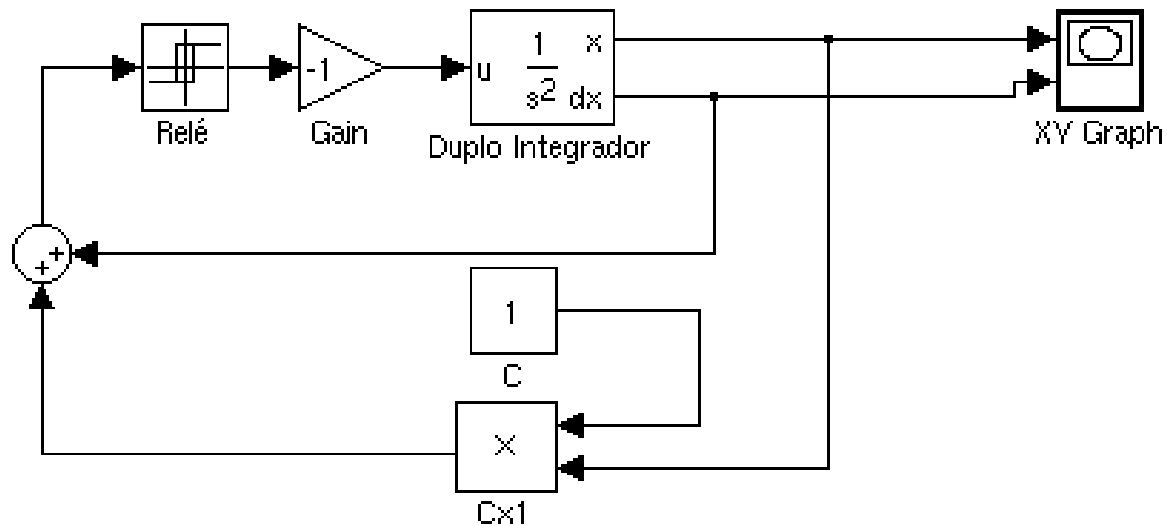
Breve histórico e motivação

- Como seria um deslizamento **IDEAL**?
 - Sinal de controlo **chaveando** entre dois valores com frequência **INFINITA**, logo não mais definido matematicamente;
 - Trajetória **confinada** a esta superfície, gerando um novo movimento, já que esta trajetória não pertence a nenhum dos dois sistemas que estão sendo chaveados;
 - Se, apesar de incertezas, perturbações etc., as trajetórias continuarem apontando para a superfície de deslizamento, o sistema continuará entrando em modo deslizante, logo, **ALTA ROBUSTEZ**.
 - Para a superfície que estamos considerando, no *deslizamento*:

$$S(x) = cx_1 + x_2$$

$$S(x) = 0 \supset x_2 = -cx_1 \supset \dot{x}_1 = -cx_1 \supset x_1(t) = e^{-ct}$$

Simulação – MATLAB/Simulink



Simulação – MATLAB/Simulink

```
• % Script didatico Controle Duplo Integrador com Modos Deslizantes
• % Autor: Josenalde Oliveira - Nov/2013 - PosDoc UTAD - PT
•
• clear all;
•
• A = [0 1;0 0];
• B = [0;1];
• C = [1 0;0 1];
• u = -1;
• h = 1e-2;
•
• FLAGShowControl = 0;
•
• Xa = [0.6;0.5];
•
•
• k = 1;
• t = 0;
• tMax = 100;
•
• disturbance = 0;
• tiD=0;
• tfD=0;
•
• c = 1;
•
• X1p = -1:h:1;
• X2p = -c.*X1p;
```

```

• while (t < tMax)
•
•     Xponto = A*Xa + B*u;
•     X = Xa + h*Xponto;
•     y = C*X;
•
•     % Superficie Deslizante
•
•     S = c*y(1) + y(2);
•
•     % Sinal de Controlo
•
•     u = -sign(S);
•
•     if (t >= tiD & t <= tfD)
•         u = u + disturbance;
•     end
•
•     uplot(k) = u;
•
•     % Grava para Plotagem
•     X1(k) = y(1); % Posicao
•     X2(k) = y(2); % Velocidade
•
•
•

```

- % Plotagem dos graficos
-
- if FLAGShowControl == 1
- title('SMC Double Integrator'); xlabel('Position'); ylabel('Velocity');
- subplot(2,1,1);
- text(0,0,'X');
- plot(X1p, X2p, 'b-', 'LineWidth', 2);
- hold on;
- plot(X1,X2, 'r', 'LineWidth', 2);
- grid on;
- subplot(2,1,2);
- plot(uptot, 'k', 'LineWidth', 1); xlabel('Time');
- ylabel('u');title('Control Signal');
- hold on;
- grid on;
- M(k) = getframe;
- elseif FLAGShowControl == 0
- title('SMC Double Integrator'); xlabel('Position'); ylabel('Velocity');
- text(0,0,'X');
- plot(X1p, X2p, 'b-', 'LineWidth', 2);
- hold on;
- plot(X1,X2, 'r', 'LineWidth', 2);
- grid on;
- M(k) = getframe;
- end
-
-
-

- `clc;`
- `fprintf('Time: %f', t);`
-
- `% Atualizacoes`
- `Xa = X;`
- `k = k + 1;`
- `t = t + h;`
-
- `end`
-
- `Movie(M,2);`
-

Aspectos matemáticos

- Superfície de deslizamento deve ser, ao menos, localmente atrativa: deve haver um domínio envolvendo a superfície no qual as trajetórias do sistema apontem na sua direção.

$$\lim_{s \rightarrow 0^+} \dot{s} < 0 \quad \lim_{s \rightarrow 0^-} \dot{s} > 0 \quad S = \{x : s(x) = 0\}$$

$$D = S \cap W = \{x \in W : s(x) = 0\}$$

- Genericamente, a condição de alcançabilidade é:

$$s\dot{s} < 0$$

- Ou, para garantir tempo finito:

$$s\dot{s} \leq -h|s|$$

Aspectos matemáticos

- Para o duplo integrador...

$$\dot{x}_1 = x_2$$

$$\dot{x}_2 = -\text{sign}(S)$$

$$S = cx_1 + x_2$$

$$S\dot{S} = (cx_1 + x_2)(c\dot{x}_1 + \dot{x}_2)$$

$$S\dot{S} = c^2x_1x_2 - cx_1\text{sign}(S) + cx_2^2 - x_2\text{sign}(S)$$

$$= (c^2x_1x_2 + cx_2^2) - \text{sign}(S)(cx_1 + x_2)$$

$$= (c^2x_1x_2 + cx_2^2) - |S|$$

$$= (cx_2(cx_1 + x_2)) - |S| \triangleright$$

$$\triangleright S\dot{S} = cx_2S - |S| \triangleright$$

$$\triangleright S\dot{S} < 0, \quad 0 \neq |cx_2| < 1$$

Aspectos matemáticos

- Compreendendo melhor o MODO DESLIZANTE

$$\begin{cases} \ddot{x}_1 = x_2 \\ \dot{x}_2 = u \\ S = cx_1 + x_2 \end{cases}$$

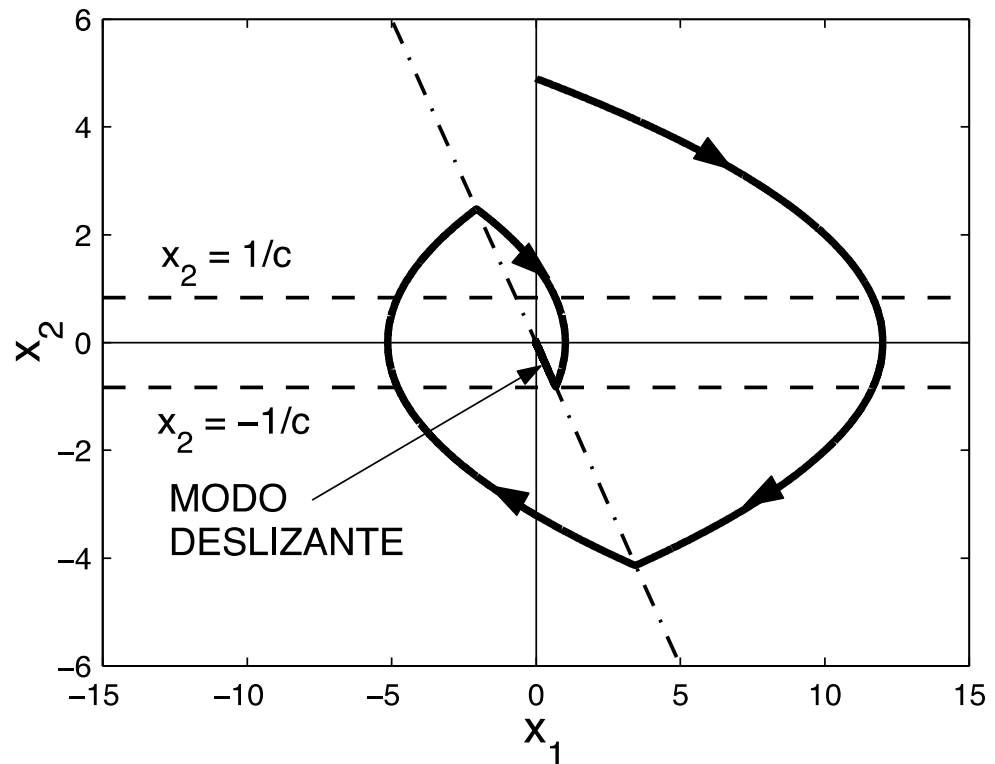
- No deslizamento:

$$\dot{S} = 0 \supset c\dot{x}_1 + \dot{x}_2 = 0$$

$$cx_2 + u = 0$$

$$S < 0, u = 1 \supset x_2 = -1/c$$

$$S > 0, u = -1 \supset x_2 = 1/c$$



Aspectos matemáticos

- Ferramentas matemáticas:
 - **Método de Filippov** para solução de equações diferenciais com lado direito descontínuo;
 - Curso de Sistemas Não Lineares
 - Conjunto enumerável no sentido de **Lebesgue**
 - Funções de **Lyapunov**
 - Perturbações singulares (**Kokotovic**)
 - Critério de **Popov**

Aspectos matemáticos

- Exemplo de prova matemática (Lyapunov):
- Seja a seguinte função candidata à **função de Lyapunov**:

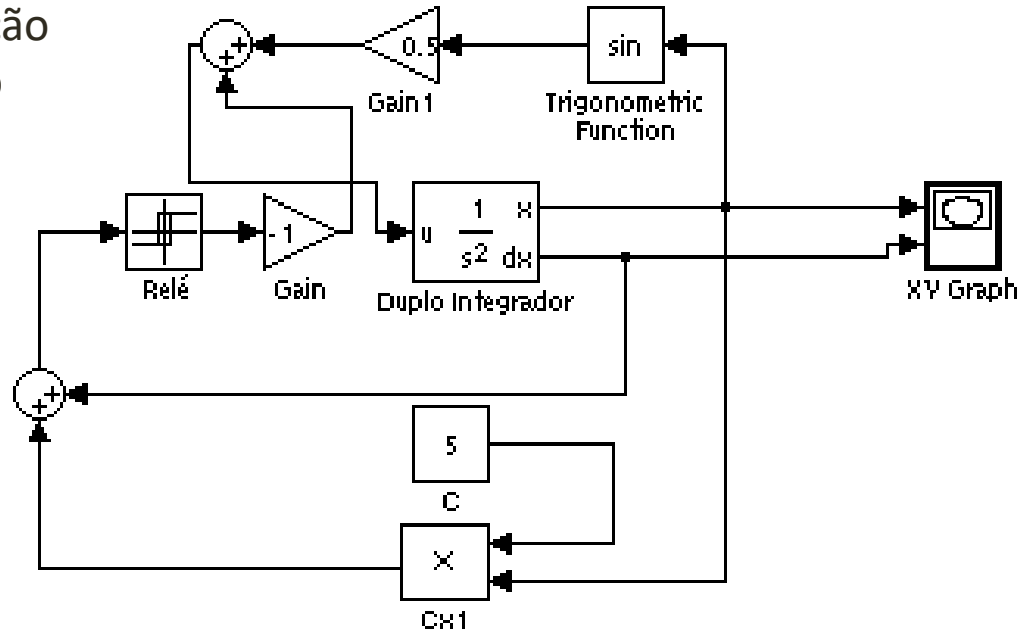
$$V(x) = \frac{1}{2} s(x)^2 > 0$$

- **Objetivo:** determinar se $\dot{V}(x) < 0$

$$\dot{V}(x) = 2 \frac{1}{2} s \dot{s} = s \dot{s} < 0$$

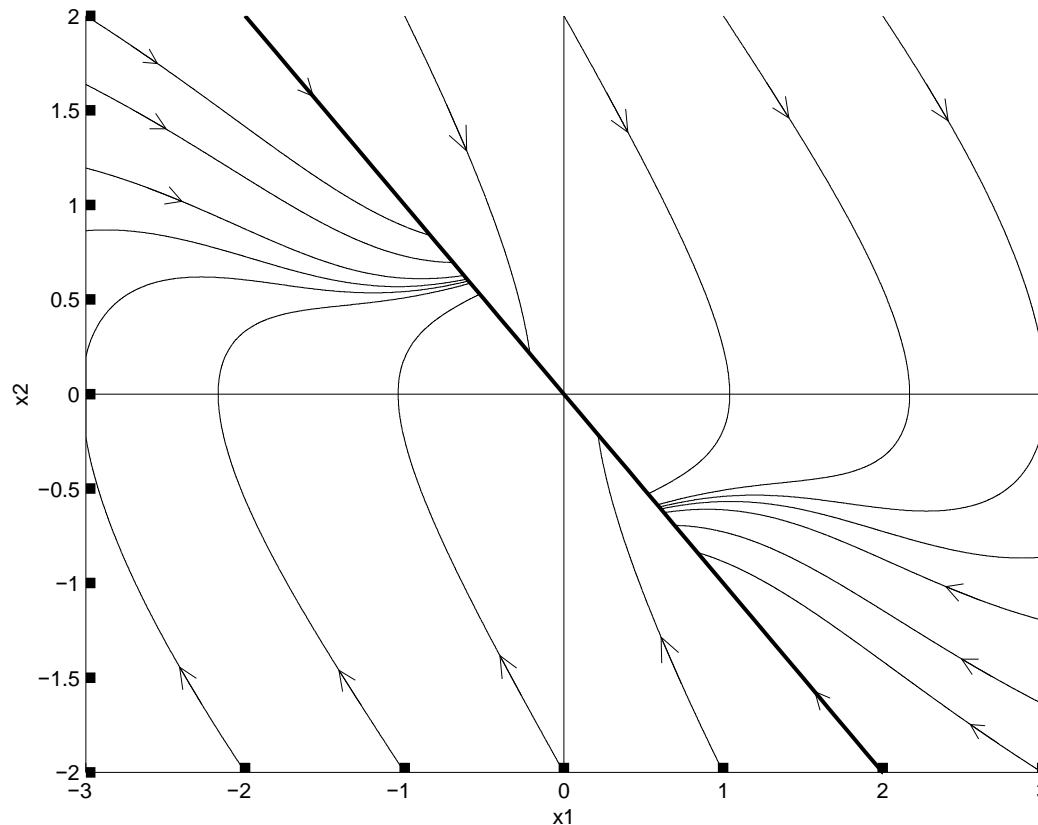
Alguns exemplos (perturbação)

Acrescentando uma perturbação de carga (load disturbance) no Atuador: $0.5\sin(x_1)$



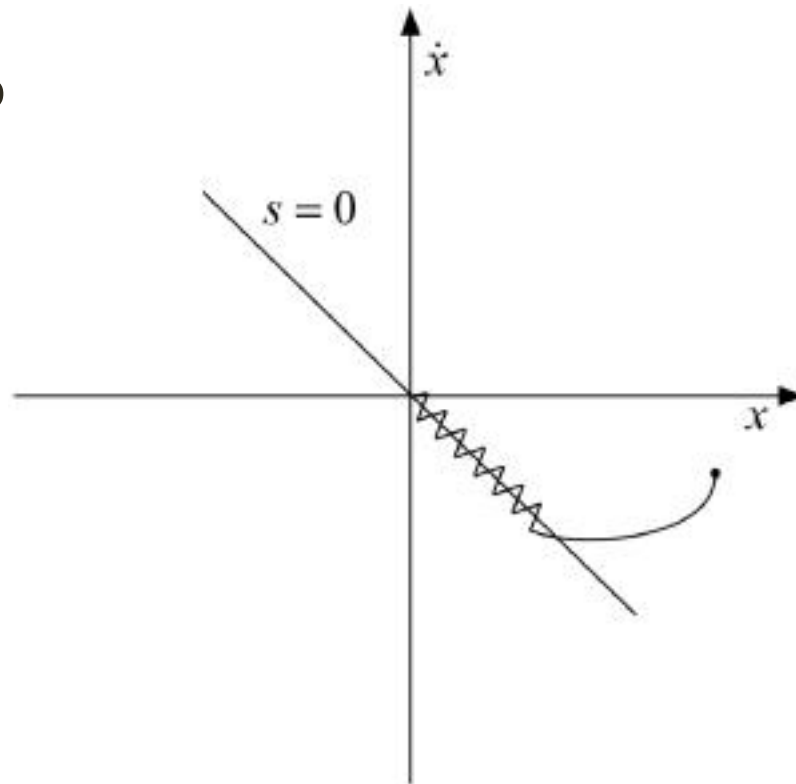
Alguns exemplos (perturbação)

Acrescentando uma perturbação
de carga (load disturbance) no
Atuador: $0.5\sin(x_1)$



Aspectos práticos

- Chattering (devido ao deslizamento REAL – frequência finita)
- Estresse de atuadores
- **Solução:** suavizar controlo



Aspectos práticos

- Nem sempre é possível ter acesso a todas as variáveis de estado (custo de sensores, dificuldades operacionais de instrumentação)
 - **Soluções:** realimentação de SAÍDA apenas (inicia associação com controle ADAPTATIVO por MODELO DE REFERÊNCIA – Variable Structure Model Reference Adaptive Control): UFRJ,UFRN

Aspectos práticos

- Etapas de PROJETO:
 - Selecionar superfície de chaveamento/deslizamento
 - Em problemas de rastreamento, normalmente é função do ERRO DE SAIDA
 - Opções: lineares / não lineares
 - Variantes no tempo, invariantes no tempo
 - Projetar lei de controlo que permita alcançar $S(x)$ e permanecer nesta

$$u(t) = u_c(t) + u_{eq}(t)$$

$$u_c(t)$$

- Controle corretivo: compensa os desvios da superfície deslizante

$$u_d(t)$$

- Controle equivalente: torna a derivada de $S(x) = 0$

Considerações finais e perspectivas de pesquisa

- Nem sempre é possível ter acesso a todas as variáveis de estado (custo de sensores, dificuldades operacionais de instrumentação)
 - **Soluções:** realimentação de SAÍDA apenas (inicia associação com controle ADAPTATIVO por MODELO DE REFERÊNCIA – Variable Structure Model Reference Adaptive Control): UFRJ,UFRN

Considerações finais e perspectivas de pesquisa

- Temas de pesquisa promissores:
 - Uso de metaheurísticas, algoritmos evolutivos para seleção de valores ÓTIMOS para parâmetros da superfície deslizante/controlador
 - Implementação embarcada (*embedded*) (FPGAs, DSPs)
 - Estudos no efeito dos tempos de amostragem
 - Estudos no efeito dos atrasos de medição
 - Estudos de técnicas de suavização do sinal de controle sem prejuízo para estabilidade do sistema

Considerações finais e perspectivas de pesquisa

- TEIXEIRA, L. R. L. ; **Oliveira, J. B.** ; ARAÚJO, A. D. . An Intuitive Design for the Dual Mode Adaptive Robust Controller Based on Indirect Control. In: European Control Conference 2013 (ECC '13), 2013, Zürich. p. 4526-4531.
- ARTO, VISALA, ; TIMO, OKSANEN, ; ARTO, VISALA, ; **JOSENALDE, OLIVEIRA,** . Smooth Adaptive Robust Temperature Control of a Seed Drying System. In: Agricontrol, 2013. v. 1. p. 6-11
- TEIXEIRA, L. R. L.; **Oliveira, J. B.** ; Araujo, A.D. Smooth indirect adaptive sliding mode control. *International Journal of Robust and Nonlinear Control*. <http://dx.doi.org/10.1002/rnc.3099>
- Oliveira, J. B.; Boaventura-Cunha, J.; Oliveira, P.M. Greenhouse temperature robust optimal control: a sliding mode based approach. Submetido a *Control Engineering Practice*.
- Oliveira, J. B.; Boaventura-Cunha, J.; Oliveira, P.M.; Freire, H. Sliding Mode Generalized Predictive Control Based on Dual Adaptation. *A submeter ao Controlo 2014*.

- Muito obrigado pela atenção!
- josenalde@eaj.ufrn.br